

III-57 静電容量式土中ひずみ計の試作について

京都大学工学部 正会員 赤井 浩一
京都大学大学院 学生員 ○垣 正幸

1. 序 土中の任意点での応力量、ひずみ量といかに精度よく計測するかということは土質力学の実験的研究ばかりでそれと並んで立脚している理論的研究にとって極めて重要な問題である。しかし、わが国において土中の任意点でのひずみ計測が可能な装置の開発は遅れているのが現状である。筆者らは土中の一次元応力波伝播実験において土中に生ずる一軸方向の動的ひずみ量を計測するという必要性に直面し、土中ひずみ計の試作に努めてきた。その結果、従来空気中で使われて来た静電容量式の微小変位計を利用して土中にトマスコンデンサーを形成することによりその極板間の間隔の変化を電容量の変化としてとらえることによって、めんどうなキャリブレーション試験をすることなく精度の良いひずみ計測が可能であることが判明した。

2. 原理および装置 図-1 に示すように 2 枚の導体板が、ある媒質中に平行に置かれると、貯えられる静電容量 C は次式で与えられる。

$$C = \frac{A \epsilon_0 \epsilon_s}{D} = 8.885 \times \frac{A \epsilon_s}{D} \quad [pF] \quad (1)$$

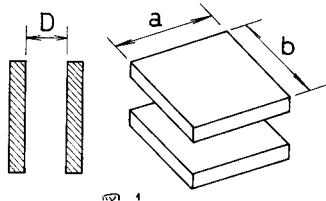
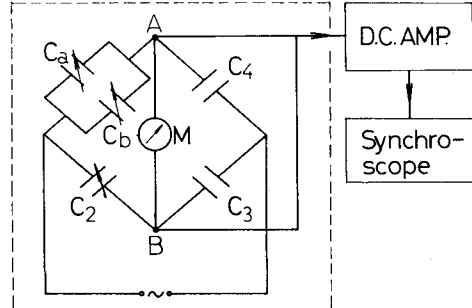


図-1

ここで、 A は導体板の面積、 D は極板間隔、 ϵ_s は極板間の媒質の比誘電率、 ϵ_0 は定数。一方、微小変位計の内部には図-2 のようなコンデンサーによるブリッジが組まれている。ここで、 C_3, C_4 は固定コンデンサー ($100 pF$)、 C_2 はバリコンである。また C_A は土中に形成されるベチコンデンサーであり、 C_B ($20 pF$) は C_A の静電容量が不足の場合に補助されるバリコンである。いま、 $C_A + C_B$ を G と置き換えるならば、 C_1, C_2, C_3, C_4 の 4 つのコンデンサーによるブリッジの平衡条件は次式である。

$$\frac{C_1}{C_2} = -\frac{C_3}{C_4} = 1 \quad (2)$$



Strain meter

図-2

この場合、 C_A は土中にコンデンサーを形成して時刻である静電容量が決まるから実際の操作としては、 C_2 のバリコンを G と等しくなるよう調節すればよい。その段階では、A, B 間に電位差がなく、メーターメーター M へ電流は流れていよい。次に、エバ外力を受けると、变形すると上中コンデンサーの極板の間隔が変化し式(2)の平衡条件が破れ、これによると A, B 間に電位差が生じると同時にメーターへ電流が流れれる。土中コンデンサーの極板とて当初 $2.5 cm \times 1.5 cm$ の薄い銅板にエナメルで被覆したものと用いていたが土材料に与える乱れの影響が大きいと若きられ、その後は長さ $6 cm$ 、直径 $2.5 mm$ の金属針とビニール管で被覆したものと用いている。それによつて試料に与える乱れの影響を減らすと同時に、土中で形成されるコンデンサーの初期容量を小さくするという利点も生じた。実験ではこのスリット針を土中に平行に差し込んでコンデンサーを形成した。

3. キャリブレーション 図-1 のように 2 枚の導体板がある媒質中に置かれた場合に貯えられる静電容量は式(1)で表わされるが、実験で用いている 2 本の針が平行に置かれた場合に貯えられる静電容量は計算上は極めて複

難形になると思われる。しかし、空気中で 2 本の針の間隔と静電容量の間の関係を実験的に求めたと(3)式(1)と同じ形の関係になることが分かる。
すなわち、

$$C_0 = \frac{a}{D_0} \quad [pF] \quad (3)$$

ここに、 C_0 は初期静電容量、 D_0 は 2 本の針の初期間隔、 a は土の比誘電率や極板の大きさなどに依存する係数であるが、微小変形の範囲だけを扱うとすれば実験中、土の物性は大きく変化しないと考えて、一定としてよいだろう。土が変形して 2 本の針からなる極板の間隔に微小の変化 ΔD が生じたとすると、それに応じる静電容量の変化 ΔC は ΔD の極めて微小であるという仮定のもとで式(3)より次式と導くことができる。

$$\Delta C = -\frac{a}{D_0^2} \Delta D = -\frac{a}{D_0} \times \frac{\Delta D}{D_0} = -C_0 \frac{\Delta D}{D_0} \quad (4)$$

上式において $\Delta D/D_0$ は土のひずみに相当する量であるから、式(4)はひずみは静電容量の変化に比例することを意味している。通常、記録装置は電圧の変化を取り出すものが多いために使用する記録装置による静電容量の変化と電圧の変化の間の関係をあらかじめ求めておく必要がある。この関係は初期容量 C_0 に依存する。 $\Delta C = 1 \text{ pF}$ としたときの電圧の変化量を求めて例を図-3 に示す。いざれにしても、ある初期容量が決まれば、電圧の変化と静電容量の変化との間に比例関係が成立し、次式の形で与えられる。

$$\Delta V = \frac{1}{k} \Delta C \quad (5)$$

ここで、 k は比例定数である。従って式(4)と(5)より一軸方向のひずみ量を次式によって換算できる。

$$\epsilon = -\frac{\Delta D}{D_0} = -\frac{\Delta C}{C_0} = -\frac{k}{C_0} \Delta V \quad (6)$$

上式より k と C_0 の値を実験に先立って求めておきさえすれば、土中の微小ひずみを容易に求めることができることである。但し、式(6)のひずみと ΔV の線形関係が成立するのは 2% ひずみ以下であることが実験的に確かめられている。

4. 应用例 上述の静電容量式のひずみ計を用いて一次元波動伝播実験での粘土試料の一軸ひずみ計測定

された。同時に応力の測定も同一地盤で行なわれ波動伝播時の応力-ひずみ曲線について検討と試みた。波動形式は Rod wave である。図-4 はシンクロスコープでとられた応力-時間、ひずみ-時間関係の一例であり、この時のひずみ計の式(6)の係数 k/C_0 の値は $1.04 \times 10^{-4} \text{ mV}^{-1}$ であった。図より各瞬間での応力とひずみの値をプロットして応力-ひずみ曲線を描いたのが図-5 である。図より初期接線弹性係数を求める 1700 kg/cm^2 となり、一方、Rod wave の wave front での波速を用いて弹性係数を計算すると 1730 kg/cm^2 であった。これらの考察より、ひずみ計の動的応答性の良好こと、ひずみ測定の精度の良さを確認することができるものと思われる。

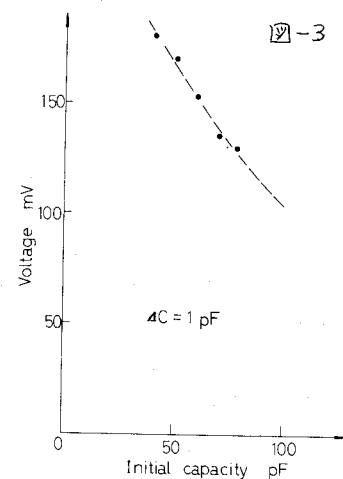


図-3

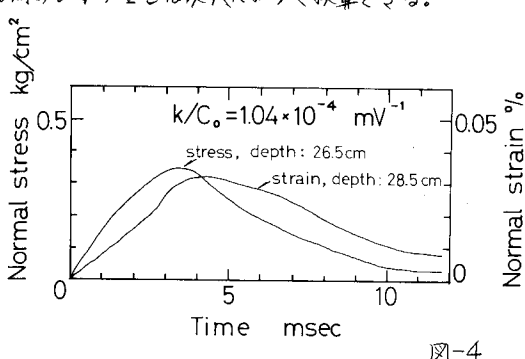


図-4

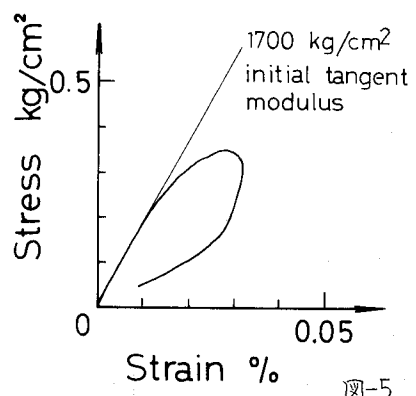


図-5